

ПРИЛИВНЫЕ ЭФФЕКТЫ В НЕКОТОРЫХ РЕГУЛЯРНЫХ ЧЕРНЫХ ДЫРАХ

*М. Шариф**, *С. Садик***

*Математический факультет, Университет Пенджаба
54590, Лахор, Пакистан*

Поступила в редакцию 14 июля 2017 г.

(Перевод с английского)

TIDAL EFFECTS IN SOME REGULAR BLACK HOLES

M. Sharif, S. Sadiq

Исследуются приливные силы, порождаемые некоторым классом регулярных черных дыр. Рассмотрено падение пробной частицы в радиальном направлении и получены радиальные и угловые компоненты приливных сил путем решения уравнений для расхождения геодезических. Вектор расхождения геодезических вычислений путем численного решения уравнения для расхождения геодезических. Оказалось, что в результате действия приливных сил частица претерпевает сжатие или растяжение в радиальном или угловом направлениях.

DOI: 10.7868/S0044451018020050

1. ВВЕДЕНИЕ

Гравитационная сила является слабейшей среди фундаментальных сил природы, при этом она ответственна за то, что одно тело притягивается к другому. В результате действия порождаемых гравитацией приливных сил не взаимодействующие частицы, свободно падающие в направлении Земли, подвергаются растяжению в направлении движения и сжатию в поперечном направлении. Приливные поля определяют динамическую эволюцию галактик вдоль их траекторий. В работе [1] рассматривался полный эффект приливных взаимодействий, которых оказалось недостаточно для преобразования спиральной галактики в эллиптическую, и было найдено, что приливный нагрев сильнее при низкой критической плотности кластеров. В работе [2] было обнаружено усиление приливных эффектов релятивистскими поправками высшего порядка, которые необходимы для точной фазировки гравитационного сигнала от двойных нейтронных звезд.

* E-mail: msharif.math@pu.edu.pk

** E-mail: sobiasadiq.01@gmail.com

Приливные эффекты также имеют место, когда тело падает на черную дыру (ЧД), при этом вблизи сингулярности они стремятся к бесконечности. Гравитация ЧД порождает сильные приливные силы, которые деформируют и разрушают объекты вблизи ЧД. В случае ЧД Шварцшильда [3] свободно падающее тело из-за приливных эффектов претерпевает в радиальном направлении растяжение, а в угловом — сжатие. В работе [4] было показано, что из-за приливного сжатия, действующего в направлении, ортогональном орбитальной плоскости звезды, звезда может сжиматься, если периастр ее орбиты оказывается достаточно близко к горизонту ЧД. В работе [5] было проанализировано влияние приливных сил, порождаемых ЧД, на небольшие твердые объекты, размягченные сильным гравитационным полем ЧД. В работе [6] исследовались орбиты звезд в метрике Керра и было показано, что вращение ЧД увеличивает верхний предел массы ЧД, способной разрушить звезду посредством приливных сил. В работе [7] обсуждалось разрушение черными дырами звезд с малой массой из главной последовательности и белых карликов и были вычислены орбитальные параметры обломков. В работе [8] обсуждались растяжение и сжатие в радиальном и

угловом направлениях частицы, свободно падающей на ЧД Рейсснера – Нордстрема (РН), и было найдено, что результаты отличаются от результатов, полученных для ЧД Шварцшильда. В работе [9] исследовалось разрушение, производимое ЧД Шварцшильда, и было показано, что при разрушении за счет приливных сил от звезды отщепляется больше вещества и при этом получают более тесно связанные обломки, чем в случае ньютоновской гравитации.

В течение последнего столетия с помощью общей теории относительности был достигнут значительный успех в понимании различных наблюдательных фактов, таких как гравитационное красное смещение, прецессия орбиты Меркурия, искривление светового луча и т. д. Существенную роль здесь играли черные дыры Шварцшильда, Рейсснера – Нордстрема, Керра и Керра – Ньюмана, параметризованные массой, зарядом и моментом импульса. Хорошо известно, что эти решения демонстрируют сингулярность в кривизне под их горизонтом событий. Пенроуз в работе [10] предложил гипотезу космической цензуры, запрещающей существование голой сингулярности. Однако полное физическое понимание ЧД требует решений без сингулярности. В этом контексте были предложены некоторые решения для ЧД с регулярными центрами, известные как регулярные или несингулярные черные дыры.

Бардин [11] предложил решение для регулярной ЧД, которое в дальнейшем интерпретировалось как магнитное решение полевых уравнений, включающих взаимодействие с нелинейной электродинамикой [12]. В работе [13] с использованием подхода квантового туннелирования исследовались квантовые поправки к термодинамическим величинам для ЧД Бардина. Те же авторы в работе [14] исследовали влияние некоммутативного пространства на горизонт, сингулярность и термодинамические величины. В работе [15] ЧД Бардина рассматривалась как гравитационная линза и была получена граница для угла отклонения света. В работе [16] исследовалось другое решение для регулярной ЧД, в котором параметр l связан с космологической постоянной. В работе [17] исследовалось гравитационное линзирование черной дырой Хэйворда и было обнаружено влияние параметра несингулярности на положение и увеличение изображений.

В работе [18] представлено точное решение для нелинейной электродинамики во взаимодействии с общей теорией относительности. В работе [19] было получено возрастание энергии в системе центра масс сталкивающихся частиц для регулярной ЧД,

вне зависимости от горизонта событий и голой сингулярности. В работе [20] в решениях для ЧД Бардина и ЧД Айон-Беато – Гарсиа (АБГ) было показано существование статической сферы, которая может быть окружена кеплеровским аккреционным диском. В работе [21] исследовалась динамика скалярной тонкой оболочки для регулярных черных дыр и было получено уравнение движения как для массивных, так и для безмассовых скалярных полей. В работе [22] были найдены термодинамические величины для регулярных черных дыр и был обнаружен скачок энтропии, приводящий к термодинамическим фазовым переходам второго рода.

Цель настоящей работы состоит в исследовании приливных эффектов от трех типов регулярных черных дыр, а именно, черной дыры Бардина, черной дыры Хэйворда и черной дыры Айон-Беато – Гарсиа. Работа построена следующим образом. В разд. 2 мы исследуем падение пробной частицы в радиальном направлении на ЧД каждого типа. В разд. 3 мы находим радиальные и угловые компоненты приливных сил, используя уравнение для расхождения геодезических. В разд. 4 мы вычисляем радиальную и угловую компоненты вектора расхождения геодезических, численно решая уравнение для расхождения геодезических. В последнем разделе приведены заключительные замечания.

2. РЕГУЛЯРНЫЕ ЧЕРНЫЕ ДЫРЫ

Линейный элемент, характеризующий регулярные ЧД, имеет вид

$$ds^2 = h(r) dt^2 - \frac{dr^2}{h(r)} - r^2 (d\theta^2 + \sin^2 \theta d\phi^2), \quad (1)$$

где $h(r)$ для ЧД Бардина, Хэйворда и АБГ соответственно определяется как

$$h(r) = 1 - \frac{2Mr^2}{(r^2 + Q^2)^{3/2}}, \quad (2)$$

$$h(r) = 1 - \frac{2Mr^2}{r^3 + 2l^2}, \quad (3)$$

$$h(r) = 1 - \frac{2Mr^2}{(r^2 + Q^2)^{3/2}} + \frac{Q^2 r^2}{(r^2 + Q^2)^2}. \quad (4)$$

Здесь M и l – константы, а Q – электрический заряд ЧД. Горизонты этих ЧД определяются путем вычисления корней уравнения

$$h(r) = 0.$$

При $Q = 0 = l$ все решения для ЧД редуцируются к пространству-времени, соответствующему ЧД Шварцшильда.

Геометрия пространства-времени визуализируется геодезическими, которые связаны с перемещением свободных частиц, движущихся вдоль своих траекторий. Пробные частицы при распространении обычно движутся по времениподобным и светоподобным геодезическим. Динамика этих частиц помогает понять геометрическую структуру пространства-времени, а также высокоэнергетические явления, происходящие вблизи ЧД, такие как аккреционные диски и образование джетов. Мы рассмотрим пробную частицу, движущуюся вдоль времениподобной геодезической в радиальном направлении, причем аффинный параметр τ отождествляется с собственным временем [23]:

$$ds = d\tau.$$

Тогда уравнение (1) принимает вид

$$h(r)\dot{t}^2 - h^{-1}(r)\dot{r}^2 = 1, \quad (5)$$

где точкой обозначена производная по τ , причем

$$\dot{\theta} = \dot{\phi} = 0.$$

Постоянная движения для радиальной геодезической имеет вид

$$E = h(r)\dot{t},$$

что представляет собой энергию на единицу массы частицы. Используя уравнение (5), получаем

$$E^2 = \dot{r}^2 + h(r). \quad (6)$$

Пробная частица, падающая в радиальном направлении из состояния покоя в положении α , обладает энергией

$$E = \sqrt{h(\alpha)}.$$

Базисные векторы для свободно падающих в радиальном направлении наблюдателей определяются как [8]

$$\begin{aligned} \hat{\omega}_t^\alpha &= (Eh^{-1}, -\sqrt{E^2 - h}, 0, 0), \\ \hat{\omega}_r^\alpha &= (-h^{-1}\sqrt{E^2 - h}, E, 0, 0), \\ \hat{\omega}_\theta^\alpha &= (0, 0, r^{-1}, 0), \quad \hat{\omega}_\phi^\alpha = (0, 0, 0, (r \sin \theta)^{-1}), \end{aligned} \quad (7)$$

при этом они удовлетворяют условию ортонормальности

$$\hat{\omega}_{\hat{\mu}}^\alpha \hat{\omega}_{\hat{\nu}\alpha} = \eta_{\hat{\mu}\hat{\nu}},$$

где $\eta_{\hat{\mu}\hat{\nu}}$ — метрика Минковского.

Таблица 1. Значения радиуса горизонта для ЧД Бардина

Q	r	r_+	r_-
0.2	$\pm 1.96946, \pm 0.0687757$	1.96946	0.0687757
0.4	$\pm 1.87022, \pm 0.217109$	1.87022	0.217109
0.6	$\pm 1.66546, \pm 0.471171$	1.66546	0.471171

3. ПРИЛИВНЫЕ СИЛЫ

Существование приливных сил связано с концепцией расхождения геодезических, вдоль которых движутся частицы. Уравнение для расхождения геодезических, описывающее, как кривизна пространства-времени влияет на две соседние геодезические, заставляя их расходиться или сходиться, имеет вид

$$\frac{D^2 \xi^\alpha}{D\tau^2} = R^\alpha_{\beta\gamma\delta} v^\beta v^\gamma \xi^\delta,$$

где v^β — касательный вектор к времениподобной геодезической в каждой точке, причем $\hat{\omega}_t^\beta = v^\beta$, а ξ^α — вектор расхождения двух соседних геодезических. Вектор ξ^α также можно записать как

$$\xi^\alpha = \hat{\omega}_\beta^\alpha \xi^\beta.$$

Отличные от нуля компоненты уравнения для расхождения геодезических имеют вид

$$\frac{\ddot{\xi}^{\hat{r}}}{\xi^{\hat{r}}} = -\frac{h''}{2}, \quad \frac{\ddot{\xi}^{\hat{j}}}{\xi^{\hat{j}}} = -\frac{h'}{2r}, \quad (8)$$

где $j = \theta, \phi$, а штрихом обозначена производная по r . Приведенные уравнения описывают радиальные и угловые компоненты приливных сил.

Ниже мы вычислим радиусы внешнего и внутреннего горизонтов, а также положение точки разворота пробной частицы и рассмотрим поведение приливных сил для трех типов ЧД.

3.1. Черная дыра Бардина

Найдем радиус горизонта для ЧД Бардина, вычислив корни уравнения

$$r^6 + (3Q^2 - 4M^2)r^4 + 3Q^4r^2 + Q^6 = 0$$

для некоторых конкретных значений Q при $M = 1$, см. табл. 1. Здесь мы пренебрегли отрицательными корнями r и отождествили самое большое значение с

Таблица 2. Точки разворота при $\alpha = 100$

Q	r	r_{stop}
0.2	$\pm 100, \pm 0.0089577$	0.0089577
0.4	$\pm 100, \pm 0.0253742$	0.0253742
0.6	$\pm 100, \pm 0.0466854$	0.0466854

Таблица 3. Точки, в которых приливная сила обращается в нуль

Q	r_+^{rtf}	r_-^{rtf}	r^{atf}
0.2	0.460944	0.0867784	0.282843
0.4	0.921888	0.173557	0.565685
0.6	1.38283	0.260335	0.848528

радиусом внешнего горизонта (r_+), а самое маленькое — с радиусом внутреннего (r_-). Оказалось, что вещественные корни существуют только в области

$$0 \leq Q \leq 0.76,$$

при этом мы игнорируем мнимые корни, поскольку они являются нефизическими. Скорость пробной частицы, свободно падающей на ЧД, стремится к нулю в точке разворота, которой соответствует значение r_{stop} , уравнение (6) при этом принимает вид

$$E^2 - h(r) = 0.$$

Корни этого уравнения приведены в табл. 2.

Обращение в нуль радиальной и угловой компонент приливной силы для ЧД Бардина дает

$$r_{\pm}^{rtf} = \sqrt{\frac{Q^2 (11 \pm \sqrt{105})}{4}}, \quad r^{atf} = \sqrt{2Q^2},$$

где индекс « rtf » соответствует радиальной, а индекс « atf » — угловой компоненте приливной силы. В табл. 3 приведены значения r_{\pm}^{rtf} и r^{atf} для различных Q .

На рис. 1 приведены зависимости радиальной и угловой компонент приливной силы, полученные с использованием уравнений (2) и (8). Сравнение значений, при которых приливная сила обращается в нуль, с величинами, соответствующими внешнему горизонту, дает значение $Q \geq 0.8$, при котором радиальная компонента приливной силы меняет направление на противоположное и вызывает сжатие сразу за внешним горизонтом. Кроме того, видно, что

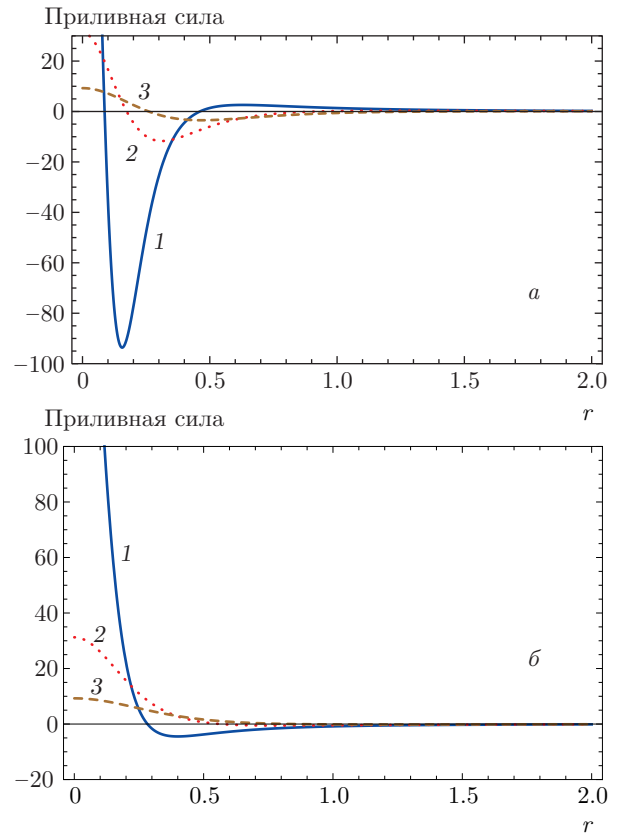


Рис. 1. (В цвете онлайн) Зависимости от r радиальной (а) и угловой (б) компонент приливной силы для ЧД Бардина при $M = 1, Q = 0.2$ (1), 0.4 (2), 0.6 (3)

радиальная компонента приливной силы имеет локальный максимум в точке $r = 0.5$. Для угловой компоненты приливной силы имеем

$$r_- < r^{atf} < r_+,$$

что указывает на то, что она обращается в нуль в минимуме $h(r)$, который расположен между внутренним и внешним горизонтами.

3.2. Черная дыра Хэйворда

Значения радиуса горизонта для ЧД Хэйворда приведены в табл. 4. В этом случае вещественные корни существуют при всех значениях l . Значения r_{stop} , полученные с использованием уравнения (3), приведены в табл. 5. Значения, при которых радиальная и угловая компоненты приливной силы обращаются в нуль, приведены в табл. 6. Зависимости радиальной и угловой компонент приливной силы от r показаны на рис. 2. Как видно из рисунка, сжатие пробной частицы происходит при $l \geq -1.6$. При

$$r_- < r^{atf} < r_+$$

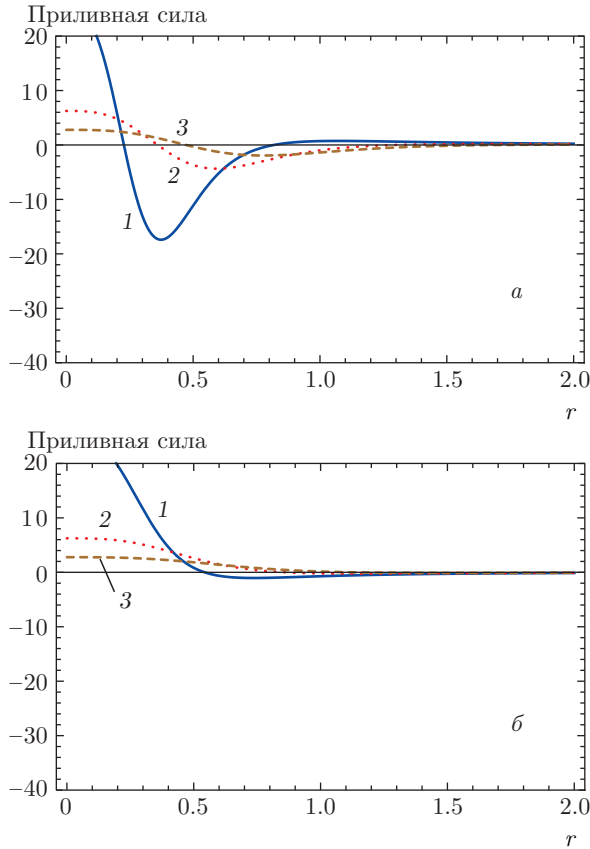


Рис. 2. (В цвете онлайн) Зависимости от r радиальной (а) и угловой (б) компонент приливной силы для ЧД Хэйворда при $M = 1, l = 0.2$ (1), 0.4 (2), 0.6 (3)

угловая компонента приливной силы обращается в нуль для значений r , лежащих между внутренним и внешним горизонтами.

3.3. Черная дыра АБГ

Для ЧД АБГ радиусы горизонтов задаются следующим образом [18]:

$$r_{\pm} = Q \left(\left(\frac{1}{4s} + \frac{f^{1/2}}{12s} \pm \frac{6^{1/2}}{12s} \times \sqrt{\frac{9}{2} - 12s^2 - \frac{f}{6} - \frac{9(12s^2 - 1)}{\sqrt{f}}} \right)^2 - 1 \right)^{1/2},$$

где

$$s = \frac{Q}{2M}, \quad f = 6 \left(\frac{3}{2} - 4s^2 + sg^{1/3} - \frac{4s(11s^2 - 3)}{g^{1/3}} \right),$$

$$g = 4 \left(9s + 74s^3 + (27(400s^6 - 112s^4 + 47s^2 - 4))^{1/2} \right).$$

Таблица 4. Значения радиуса горизонта для ЧД Хэйворда

l	r	r_+	r_-
0.2	-0.19108, 0.211495, 1.97959	1.97959	0.211495
0.4	-0.367636, 0.455122, 1.91251	1.91251	0.455122
0.6	-0.533135, 0.76289, 1.77024	1.77024	0.76289

Таблица 5. Точки разворота при $\alpha = 100$

l	r	r_{stop}
0.2	-0.0282803, 0.0282883, 100	0.0282803
0.4	-0.0565525, 0.0565845, 100	0.0565525
0.6	-0.0848168, 0.0848888, 100	0.0848168

Таблица 6. Точки, в которых радиальная и угловая компоненты приливной силы обращаются в нуль

l	r^{rtf}	r^{atf}
0.2	0.226837, 0.81849	0.779339
0.4	0.360081, 1.29927	0.931019
0.6	0.471839, 1.70253	1.06454

Зависимости радиусов внутреннего и внешнего горизонтов для ЧД АБГ приведены на рис. 3. Значения r_{stop} для точек разворота для ЧД АБГ, полученные с использованием уравнения (4), приведены в табл. 7. Заметим, что мы игнорируем другие значения r_{stop} , как и в случае ЧД Бардина. Радиальная компонента приливной силы обращается в нуль в двух различных точках, соответствующие значения приведены в табл. 8. Зависимости радиальной и угловой компонент приливной силы показаны на рис. 4. Как видно из рисунка, поведение приливных сил тождественно поведению приливных сил для случаев черных дыр Бардина и Хэйворда.

4. РЕШЕНИЕ УРАВНЕНИЯ ДЛЯ РАСХОЖДЕНИЯ ГЕОДЕЗИЧЕСКИХ

В данном разделе мы найдем вектор, связывающий две соседние геодезические, численно решая уравнение (8). Уравнение (8) с учетом (6) дает

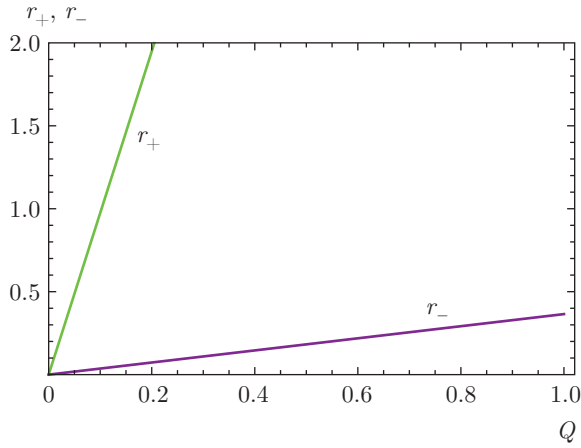


Рис. 3. (В цвете онлайн) Зависимости от Q радиусов внутреннего и внешнего горизонтов при $M = 1$

Таблица 7. Точки разворота при $\alpha = 100$

Q	r_{stop}
0.2	0.00944229
0.4	0.0283703
0.6	0.055806

Таблица 8. Точки, в которых радиальная и угловая компоненты приливной силы обращаются в нуль

Q	r^{rtf}	r^{atf}
0.2	0.47668, 0.0886348	0.29172
0.4	0.990083, 0.182031	0.604422
0.6	1.54915, 0.282462	0.943864

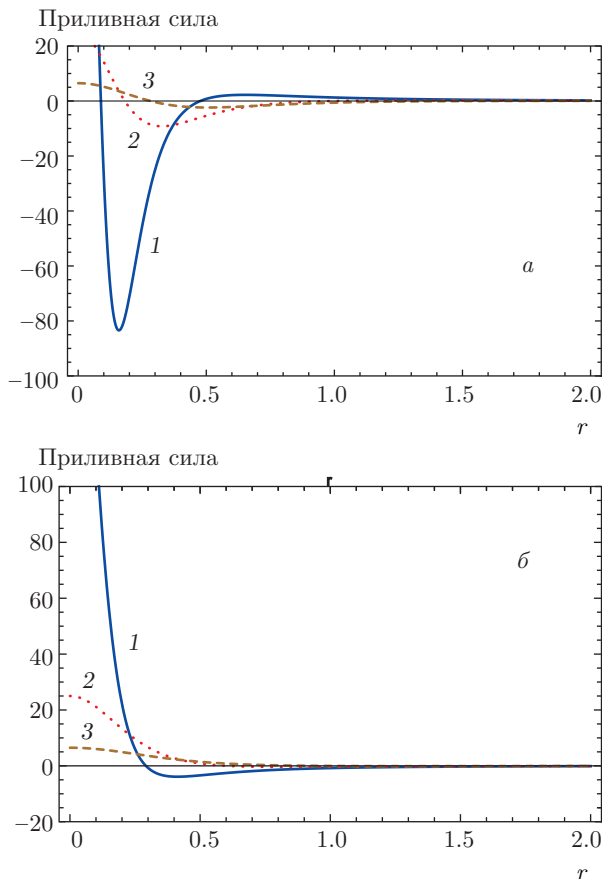


Рис. 4. (В цвете онлайн) Зависимости от r радиальной (a) и угловой (b) компонент приливной силы для ЧД АБГ при $M = 1$, $Q = 0.2$ (1), 0.4 (2), 0.6 (3)

$$(E^2 - h)\xi^{\hat{r}''} - \frac{h'}{2}\xi^{\hat{r}'} + \frac{h''}{2}\xi^{\hat{r}} = 0,$$

$$(E^2 - h)\xi^{\hat{j}''} - \frac{h'}{2}\xi^{\hat{j}'} + \frac{h''}{2r}\xi^{\hat{j}} = 0.$$

Эти уравнения представляют собой дифференциальные уравнения второго порядка для вектора расхождения геодезических. Зависимости радиальной ($\xi^{\hat{r}}$) и угловой ($\xi^{\hat{j}}$) компонент вектора расхождения геодезических для частицы, падающей в радиальном направлении на регулярную ЧД, показаны на рис. 5 для начальных условий

$$\xi^{\hat{r}}(\alpha) = \xi^{\hat{j}}(\alpha) = 0, \quad \xi^{\hat{r}'}(\alpha) = \xi^{\hat{j}'}(\alpha) = 1.$$

Из рисунка видно, что поведение вектора расхождения геодезических одинаково при различных значениях Q и l . Радиальная компонента для случая ЧД Бардина постоянно убывает по мере того, как частица падает за горизонт событий, и достигает некоторого отрицательного значения для всех рассматриваемых значений Q . Для случаев ЧД Бардина и Хэйворда угловая компонента вектора постоянно убывает, в то время как для случая ЧД АБГ она постоянно возрастает.

5. ЗАКЛЮЧИТЕЛЬНЫЕ ЗАМЕЧАНИЯ

Черные дыры являются объектами, изучение которых представляет большой интерес из-за их замечательных физических свойств; их гравитация порождает сильные приливные силы. В настоящей работе исследуются приливные силы, порожденные

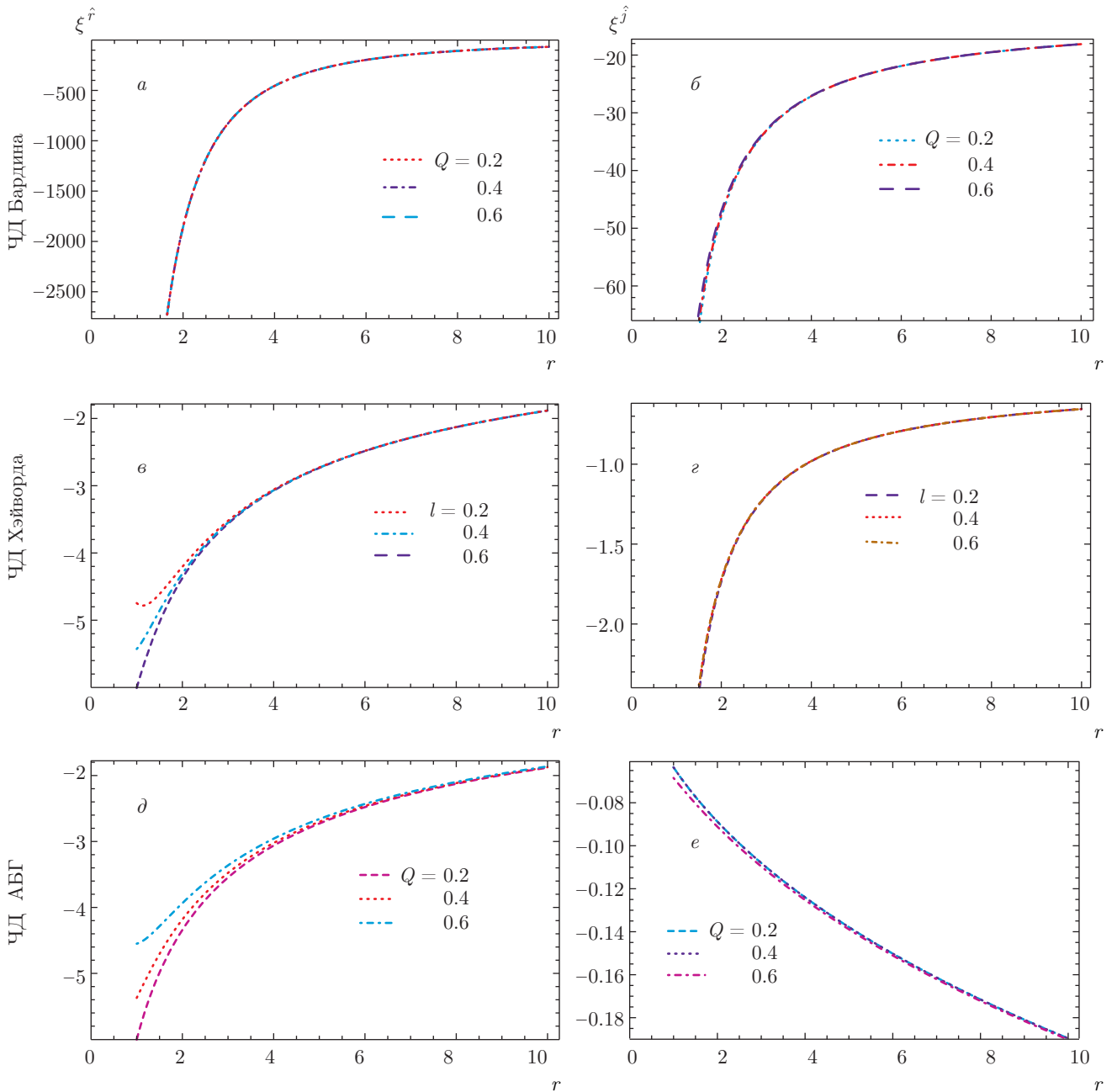


Рис. 5. (В цвете онлайн) Зависимости от r радиальной (левые панели) и угловой (правые панели) компонент вектора расхождения геодезических при $M = 1$; a, b — ЧД Бардина, e, z — ЧД Хэйворда, d, e — ЧД АБГ

в пространстве-времени, соответствующем трем типам регулярных черных дыр (Бардина, Хэйворда и АБГ). Для этого рассматривается пробная частица на времениподобной геодезической, свободно падающая в радиальном направлении. Приливные силы исследуются с использованием уравнения для расхождения двух соседних геодезических, описывающих пути движущихся объектов. Приливная сила

для каждого случая имеет две независимые компоненты (радиальную и угловую). Получены значения Q и l , при которых существуют вещественные корни уравнения. Оказалось, что поведение приливных сил для регулярных ЧД аналогично поведению в пространстве-времени, соответствующем ЧД РН [8], но отличается от поведения в случае метрики Шварцшильда [3]. В пространстве-времени, соответ-

ствующем ЧД Шварцшильда, приливные силы всегда порождают бесконечное растяжение в радиальном направлении и сжатие — в угловом. В нашем случае они могут породить как растяжение, так и сжатие в любом направлении.

Кроме того, в работе получены значения для радиусов внешнего и внутреннего горизонтов, точки разворота пробной частицы и точек, в которых радиальная и угловая компоненты приливных сил обращаются в нуль для некоторых значений Q и l . Оказалось, что для некоторых значений r , лежащих между внутренним и внешним горизонтами, и для определенных значений Q и l пробная частица претерпевает сжатие, когда угловая компонента приливной силы обращается в нуль. Также получены численные решения уравнений для расхождения геодезических и изучено поведение вектора, связывающего две соседние геодезические, для случая действия приливных сил, порожденных черными дырами. Оказалось, что при $r \rightarrow 0$ радиальная компонента убывает и достигает некоторого отрицательного значения. Угловая компонента имеет некоторое конечное значение, которое находится в согласии с результатами, полученными для случая ЧД РН [8]. В случае ЧД Шварцшильда радиальная компонента всегда возрастает, а угловая — стремится к нулю при r стремящемся к нулю [3].

ЛИТЕРАТУРА

1. O. Y. Gnedin, *Astrophys. J.* **582**, 141 (2003).
2. L. Baiotti, T. Damour, B. Giacomazzo, A. Nagar, and L. Rezzolla, *Phys. Rev. Lett.* **105**, 261101 (2010).
3. C. W. Misner, K. S. Thorne, and J. A. Wheeler, *Gravitation*, W. H. Freeman and Co. (1973).
4. J. P. Luminet and J. A. Marek, *Mon. Not. R. Astron. Soc.* **212**, 57 (1985).
5. U. Kostic, A. Cadez, M. Calvani, and A. Gomboc, *Astron. Astrophys.* **496**, 307 (2009).
6. M. Kesden, *Phys. Rev. D* **85**, 024037 (2012).
7. R. M. Cheng and T. Bogdanovi, *Phys. Rev. D* **90**, 064020 (2014).
8. L. C. B. Crispino, A. Higuchi, L. A. Oliveira, and E. S. de Oliveira, *Eur. Phys. J. C* **76**, 168 (2016).
9. J. Servin and M. Kesden, *Phys. Rev. D* **95**, 083001 (2017).
10. R. Penrose, *Riv. Nuovo Cim.* **1**, 252 (1969).
11. J. M. Bardeen, *Proc. Int. Conf. GR5*, Tbilisi, USSR (1968).
12. E. Ayón-Beato and A. Garcia, *Phys. Lett. B* **493**, 149 (2000).
13. M. Sharif and W. Javed, *J. Korean Phys. Soc.* **57**, 217 (2010).
14. M. Sharif and W. Javed, *Can. J. Phys.* **89**, 1027 (2011).
15. E. F. Eiroa and C. M. Sendra, *Class. Quantum Grav.* **28**, 085008 (2011).
16. S. A. Hayward, *Phys. Rev. Lett.* **96**, 031103 (2006).
17. S. W. Wei, Y. X. Liu, and C. E. Fu, *Adv. High Energy Phys.* **2015**, 454217 (2015).
18. E. Ayón-Beato and A. García, *Phys. Rev. Lett.* **80**, 5056 (1998).
19. M. Sharif and N. Haider, *Astrophys. Space Sci.* **346**, 111 (2013).
20. Z. Stuchlík and J. Schee, *Int. J. Mod. Phys. Lett. D* **24**, 1550020 (2015).
21. M. Sharif and S. Iftikhar, *Astrophys. Space Sci.* **356**, 89 (2015).
22. R. Tharanath, J. Suresh, and C. Kuriakose, *Gen. Relativ. Gravit.* **47**, 46 (2015).
23. S. Chandrasekhar, *The Mathematical Theory of Black Holes*, Clarendon Press (1992).